

TiO₂ 含有 高屈折率 유리의 着色에 關한 研究

金炳勳

全南大學校 工科大學

(1980年 9月 20日 接受)

Study on the Color of High Index Glass Containing TiO₂

Byung-Heon Kim

College of Technical Engineering, Chonnam University

(Received Sept. 20. 1980)

ABSTRACT

The optical absorption of high index glasses of the system TiO₂-BaO-B₂O₃ prepared from the raw materials for an optical waveguide glass has been measured in the near ultraviolet region. The amount of Ti³⁺ in the glass could be reduced to a level less than 5 ppm by melting a batch added with pure nitric acid, using a fused quartz crucible in an oxygen gas atmosphere. The ultra-pure glass of 10mm thick prepared in such a way did not show any appreciable color even for the one containing 30 mol% TiO₂ and having refractive index n_D of 1.84 and Abbe's number ν_D of 28.8. The wavelength of ultraviolet absorption edge was longer for the glass of higher index and higher dispersion. The melting of a TiO₂ containing glass in a platinum crucible resulted in a coloration of the glass due to the dissolved platinum from the crucible, which was more intense for the one containing larger amount of TiO₂.

1. 緒論

高屈折率, 高分散유리에서 자주 나타나는 黃褐色의 原因, 特히 유리의 組成 및 熔融條件과 着色傾向과의 關係를 調査하기 為하여 著者は 鉛含有유리 및 Nb₂O₅含有유리에 있어서 不純物을 最大限으로 排除한 超高純度유리를 製作하여 그들의 吸光曲線으로부터 紫外部吸收端 및 전보기 물 吸光係數(Apparent molar extinction coefficient)를 求하여 報告한 바 있다^{1,2}.

TiO₂는 PbO 나 Nb₂O₅와 마찬가지로 高屈折率유리를 製作하는데 有効한 成分이며 屈折率이 비슷한 鉛含有유리나 Nb₂O₅含有유리에 比하여 TiO₂含有유리가 比重이 작은 長點이 있지만³ TiO₂含量이 높아짐에 따라서 黃褐色을 띠기 쉽기 때문에 光學유리에 그다지 많이 使用되지 않고 있다. TiO₂含有유리의 着色의 原因

으로서는, 原料中의 不純物에 依한것과 230nm에 peak를 가지는 Ti³⁺의 強烈吸收帶에 依한것 및 熔融時 Ti⁴⁺가 一部還元되어 생긴 Ti³⁺에 依한 것 등을 들 수 있다⁵.

本研究에서는 超高純度原料를 利用하여 여러가지 條件에서 熔融한 TiO₂含有유리를 製作하여 그 紫外部吸收端과 유리의 組成 및 熔融條件과의 關係를 調査하고, 각 要因의 着色에 미치는 영향을 分離 檢討하였다.

2. 實驗

2·1) 試料유리의 製作

實驗은 比較的 多量의 TiO₂를 含有하고, 또 石英 유리製 도가니에서 熔融 可能한 TiO₂-BaO-B₂O₃系를 中心으로 行하였다. 유리의 組成을 Table 1에 나타내었다. TiO₂-BaO-B₂O₃系以外의 TG-5, TG-10 및 TG-

金 烙 點

Table 1. Composition of glass studied (mol%)

No.	TiO ₂	BaO	B ₂ O ₃	GeO ₂
T-0	—	30	70	—
TG-0	—	31.6	26.3	42.1
T-5	5	40	55	—
T-10	10	40	50	—
T-15	15	40	45	—
T-20	20	40	40	—
T-30	30	40	30	—
TG-5	5	30	25	40
TG-10	10	30	20	40
TG-20	20	30	10	40

20은 TiO₂含有量이 같으나 TG유리의組成이 다른 경우의紫外吸收端을調査하기爲한 것이다.

各組成에對하여 超高純度유리와 市販藥品을 使用하여 通常의熔融法에依하여 2종류의 유리¹²⁾를製作하여 前者는 吸光度測定用에 後者는 屈折率測定用으로 하였다. 起高純度유리의 原料로서는 TiO₂의 原料로 Merck optipur TiO₂를 BaO 및 B₂O₃의 원료로 多磨化學製의 光通信纖維유리用의 BaCO₃ 및 H₃BO₃를 GeO₂의 원료로는 和光純藥(株)製의 純度 99.99999%의 GeO₂를 각各使用하였다. BaCO₃, H₃BO₃中의 遷移金屬元素는 모두 1 ppm以下이며 GeO₂와 TiO₂에 관하여서는 發光分析으로 調査해본結果遷移金屬元素가 檢出되지 않았다. 이들原料를 使用한 超高純度유리는 透明石英유리 또는 白金도가니에서熔融하였으며原料調合부터 熔融까지의 全工程을 class 100以下の clean room 속에서行하였다. 熔融은 Ti³⁺의 量을 調節하기爲하여 酸化遷元 및 中性의 서로 다른 雰囲氣에서 行하였으며 酸化雰囲氣는 蒸溜한 高純度 HNO₃를 유리 1g當 1cc의 比率로 原料中에 添加하고 또 酸素氣流中에서熔融함으로써, 遷元雰囲氣는 發光分析用高純度炭素를 粉碎하여 原料中에 2.5mol% 添加해서 얻었다. 熔融한 超高純度유리로부터 吸收測定用으로서 두께 1 mm와 2 mm의 2개의試料를, 通常의 유리로부터는 屈折率測定用의 프리즘을製作하여 모두 #8000의 研磨剤로 光澤이 나도록 연마하였다.

2-2) 유리중의 Ti³⁺의 定量

熔融한 高純度유리中의 Ti³⁺의 含量은 ESR¹³⁾ 및 K₂Cr₂O₇水溶液에依する 中和滴定¹⁴⁾의 두가지 方法으로測定하였다. ESR測定은 X帶로 掃引磁場 3500±500G, 變調磁場 100kHz-6.3G의 條件下에서, 中和滴定은 Diphenylaminosulfonic Acid Sodium Salt溶液을 指示藥

으로하고 0.001N의 K₂Cr₂O₇溶液을 使用하여 N₂gas雰囲氣下에서 行하였다.

2-3) 吸光度 및 屈折率測定

吸光度測定은 島津 double beam 分光光度計 UV-180型으로 200~800nm의 波長範圍에서測定하였다. 測定時 參照試料部에 1mm의 試料를 被測定試料部에 2mm의 試料를 각各 넣음으로써 表面에 依한 反射損失을 除去하였다. 屈折率은 Erma光學製의 分光器를 利用하여 F線, D線 및 C線에서測定하여 最小偏角法에 依하여 求하였다.

3. 結果 및 考察

3-1) Ti³⁺의 영향

20TiO₂-40BaO-40B₂O₃ (mol%)에 2.5mol%의 炭素를 添加한 유리를 1250°C에서 白金도가니를 使用하여熔融한 試料의 Ti³⁺含量의 熔融時間에對한變化를 Fig. 1에 나타내었다. Ti全量에對한 Ti³⁺의 比는 約 45%정과함에 따라서 0.05%까지 減少하나 그 後로는 거의變化하지 않고 거의 平衡濃度에 가까운 것으로 보인다. 이 유리의 紫外線吸收는 Fig. 2에 나타낸 바와 같이 Ti³⁺含量의 增加와 함께 增大하고 또 500nm附近의 吸收도 增大하였다. 단, 이曲線은 앞의 測定에서 얻은 値을 參照試料와 測定試料의 두께의 差가 2mm 일 때의 値으로 换算한 것이며 以後의 모든 그림中的 吸光度는 모두 같은 方법으로 얻은 値이다.

Fig. 3은 Fig. 2의 曲線에 있어서 360nm에서의 吸光度를 Ti³⁺의 含量에對하여 르롯트한 것인데 兩者 사이에는 거의 直線關係가 成立하여 吸光度의 Ti³⁺含量 “%”에의 外挿值은 약 0.17이다. 또 이 直線의 기울기로부터 計算한 360nm에 있어서의 Ti³⁺의 흡光係數

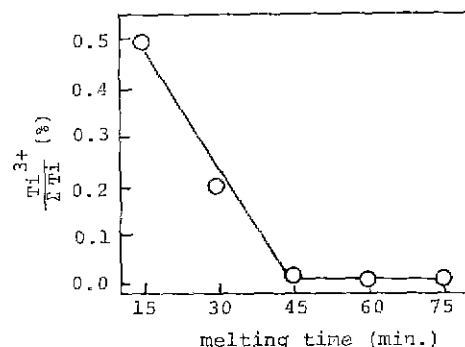


Fig. 1 Dependence of Ti³⁺ content of 20TiO₂-40BaO-40B₂O₃+2.5C glass upon melting time.

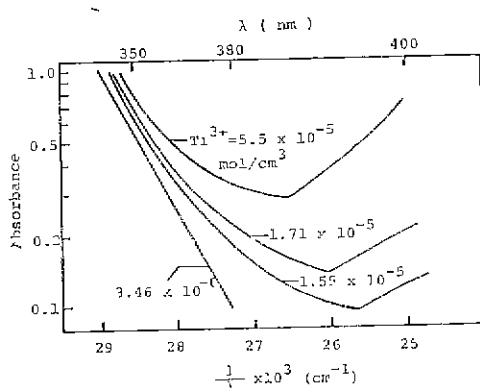


Fig. 2 Absorption curves of glasses of $\text{TiO}_2\text{-BaO-B}_2\text{O}_3$ system containing various amount of Ti^{3+} .

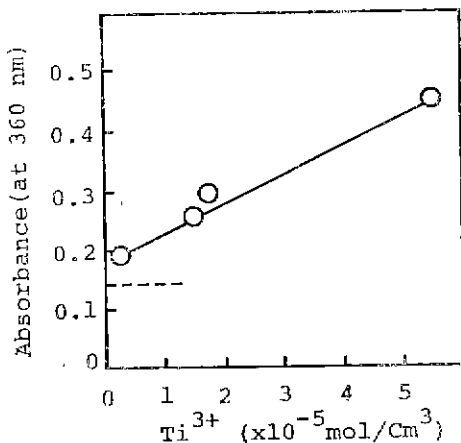


Fig. 3 Dependence of absorbance at 360nm on Ti^{3+} content.

는 약 $5 \times 10^{-3}/\text{mol}\cdot\text{l}\cdot\text{cm}$ 였다. 단 Ti^{3+} 의 增加에 따른 Ti^{4+} 의 減少의 影響은 무시하고 계산하였다. 또 그림 中의 點線은同一組成의 유리를 石英 유리 도가니를 使用하여 酸化 霧團 氣에서 1250°C 로 60분간 용융하였을 때의 360nm에서의 吸光度(0.14)이다. 이 유리에 있어서 Ti^{3+} 는 中和滴定과 ESR의 두 방법 모두 檢出되지 않았다. 따라서 白金 도가니로 용융한 유리의 吸光度의 Ti^{3+} 含量 “零”에의 外插值, 0.17과 點線의 値 0.14와의 差는 용융시 도가니로부터 溶出한 白金에 依한 吸收로 보여진다.

3-2) 도가니로부터 溶出한 白金의 影響

Fig. 4는 T-5~T-30 白金 도가니를 사용하여 中性 霧團 氣에서 1250°C 로 120分間 용융한 試料의 吸光度曲線이다. Fig. 5는 同一組成의 유리를 石英 유리 도가니를 사용하여 酸化 霧團 氣에서 같은 溫度로 용융한 試料의

吸光度曲線이다. Fig. 5에서는 $1/\lambda$ 에 對하여 吸光度의 对數가 直線의 인데 比하여 Fig. 4에서는 吸光度가 0.1 ~0.2附近에서 直線으로부터 뺏어나고 있다. 白金도가니를 사용할 경우에는 硝酸을 添加하여 酸性 霧團 氣로 하면 白金의 溶出量이 複雑 많아져서 유리가 濃黃色으로 着色하기 때문에 中性 霧團 氣로 용융하였다. 그러나 어떤 試料에서도 Ti^{3+} 의 含量은 本研究에서의 檢出限界以下인 것으로 보아 Fig. 4와 5의 曲線의 相違는 主로 도가니로부터 溶出한 白金에 依한 吸收로 생략된다. Fig. 4의 각 曲線의 360nm에 있어서의 吸光度와 Fig. 5의 对應하는 値과의 差를 TiO_2 의 含有量에 對하여 プロット한 것이 Fig. 6인데 TiO_2 含量이 韶은 유리일수록 사용한 유리의 영향이 크다. 또 이 韶은 白金도가니에 용융한 유리속에 5 ppm(檢出限界)의 Ti^{3+} 가 含有되었을 때 假定해서 上記의 吸光度曲線으로 부터 계산한 Ti^{3+}

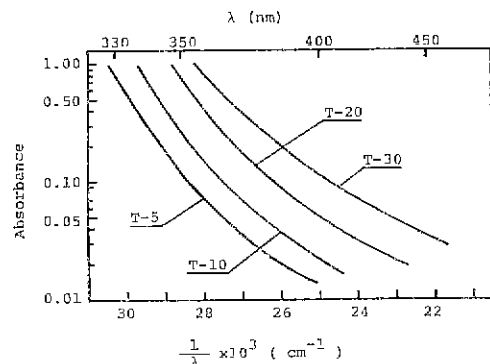


Fig. 4 Absorption curves of glasses prepared by melting batches from ultra-pure raw materials in Pt crucible.

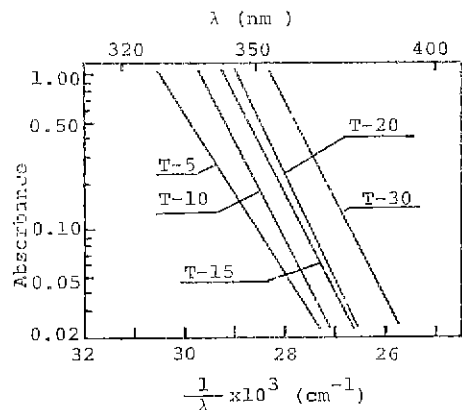


Fig. 5 Absorption curves of ultra-pure glasses of the system $\text{TiO}_2\text{-BaO-B}_2\text{O}_3$.

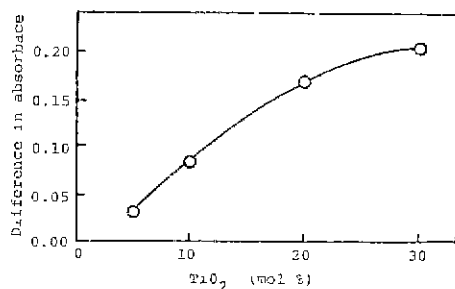


Fig. 6 Difference in absorbance at 360nm between glasses melted in Pt and fused quartz crucibles at 1250°C.

의 吸收보다 훨씬 크며, 이것은 도가니로 부터 溶出한 白金에 依한 吸收로 보여진다. 이 점으로 보아 TiO_2 含有유리에서 TiO_2 의 含量이 많은 유리일수록 도가니로부터 溶出하는 白金의 影響을 끌어 쉬우며 따라서 이와 같은 高屈抗率유리의 용융에서는 白金도가니의 사용시간을 可能한限 缓解하는 것이 바람직하다고 생각된다.

3-3) 屈抗率 및 分散과 吸收端과의 関係.

Fig. 7은 BaO 와 B_2O_3 의一部를 GeO_2 로 換換하여 石英유리도가니中에서 酸化雰圍氣로 용융한 超高純度 유리의 吸光度曲線이다. 또 그림중의 點線으로 나타낸 TG-0는 TiO_2 를 含有하지 않은 純유리 31.6 BaO -26.3 B_2O_3 -42.1 GeO_2 (mol%)에 대한 曲線이다. TG-10과 비교하기 위하여 図示한 T-10은 대각이 10mol%의 TiO_2 를 含有하지만 吸收曲線은 GeO_2 의 導入으로 長波長쪽으로 移行하여 유리의 基礎組成에도 影響을 받는 것을 보여주고 있다. Fig. 5 및 Fig. 7의 吸光度曲線은 Ti^{3+} 나 白金 및 다른 不純物의 影響을 最大限으로排除한 매우 純度가 높은 유리에 對한 것으로서 各組成에 있어서 이 波長域에서 技術的으로 到達할 수 있는 透過率을 限界에 가까운 것으로 생각되며, 어떤 試料도 두께 10mm의 試料에게 肉眼으로 色을 感知할 수 있다. Fig. 7에서 吸光度가 1이 되는 $\lambda_{abs}=1$ 을 편의상 紫外部吸收端으로 하고 이 波長을 유리의 屈抗率 및 Abbe數와 함께 Table 2에 나타내었다. TiO_2 의 含量이 많고 屈抗率과 分散이 큰 유리일수록 紫外部吸收端의 波長이 길다.

Fig. 8은 이들 超高純度유리의 近紫外部에서의 吸收가 주로 230nm에 peak를 가지는 TiO_2 에 의한 것으로假定하고 360nm에서의 TiO_2 의 組보기물吸光係數를 計算하여 TiO_2 의 含有量에 對하여 ロット트한 것이다.

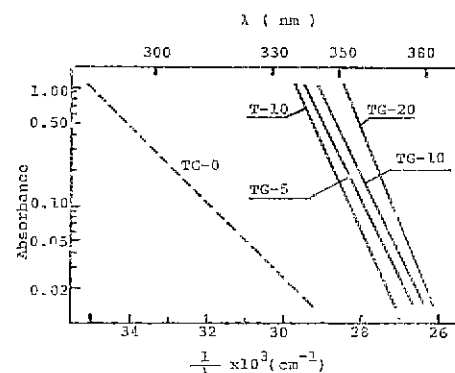


Fig. 7 吸光度曲線 of ultra-pure glasses of the system TiO_2 - BaO - B_2O_3 - GeO_2 .

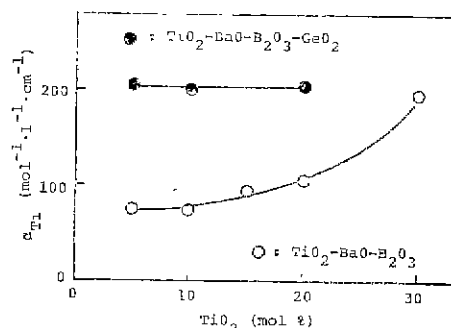


Fig. 8 Apparent molar absorption coefficient of TiO_2 at 360nm.

TiO_2 - BaO - B_2O_3 系는 TiO_2 의 含有量이 增加함에 따라 전보기물吸光係數가 增大함에 비하여 TiO_2 - BaO - B_2O_3 - GeO_2 系에서는 TiO_2 含有量에 관계없이 一定하다. 이런

Table 2. Refractive index, Abbe's number and absorption edge of TiO_2 containing glass

No.	Refractive index			ν_D	$\lambda_{abs}=1$ (nm)
	n_E	n_D	n_C		
T-5	1.6711	1.6609	1.6583	51.63	328
T-10	1.6928	1.6821	1.6778	45.47	336
T-15	1.7390	1.7246	1.7213	40.94	342
T-20	1.7419	1.7274	1.7216	35.83	345
T-30	1.8654	1.8441	1.8361	28.81	354
TG-5	1.7379	1.7250	1.7209	42.65	330
TG-10	1.7760	1.7616	1.7555	37.15	343
TG-20	1.8556	1.8365	1.8281	30.42	351

相違가 어떤 構造因子와 關連하고 있는지 現在로서는 明確하지는 않으나, 非架橋酸素의 增加 및 GeO₂導入에 依한 母유리의 吸收曲線이 長波長쪽으로 移行²⁾된 影響이 크게 나타난 것으로 보여진다.

4. 結論

超高純度原料를 用いた條件下에서 熔融시킨 TiO₂ 含有유리의 着色에 미치는 原因에 對하여 調査하여 다음과 같은 結果를 얻었다.

1) 유리속의 Ti³⁺ 含量은 原料에 硝酸을 添加하여 酸素氣流속에서 石英도가니를 사용하여 용융함으로서 紫外部의 吸收에 그의 영향을 미치지 않을 정도로 減少시킬 수 있다.

2) TiO₂ 含有유리를 白金도가니에서 용융하면 도가니로부터 溶出한 白金에 依하여 着色하기 쉬우며 TiO₂의 含量이 높은 銀灰일수록 그 영향이 크다.

3) Ti³⁺, 도가니로부터 溶出하는 白金 및 其他의 不純物을 去す 있는한 除去한 超高純度유리는 두께 10mm에서도 肉眼으로 着色을 感知할 수 없으며 그 紫外部吸收端은 TiO₂ 含有量이 같더라도 유리의 成分에 따라 다르며 屈折率이 높고 또 Abbe 數가 적은 유리일수록 그 渡長이 길다.

Reference

1. 金炳勲, 山根正之, “鉛含有유리의 固有吸收에 依한 着色”日窓協, 88(4), 191 (1980)

2. 金炳勲, 山根正之, “Nb₂O₅-BaO-B₂O₃系유리의 吸收曲線”, 日窓協 投稿中
3. a) J. H. Strimple and E. A. Giess, “Glass formation and properties of glasses in the system Na₂O-B₂O₃-SiO₂-TiO₂”, *J. Am. Ceram. Soc.*, 41, 231 (1958)
b) Eh. V. J. Rao, “Properties and structure of glasses in the binary system Alkali-TiO₂”, *J. Am. Ceram. Soc.*, 47, 455 (1964)
4. J. A. Duffy, “Ultraviolet transparency of sodium phosphate glass containing metal ion impurities.”, *Phys. Chem. Glasses*, 13, 65 (1972)
5. D. S. Carson and R. D. Maurer, “Optical attenuation in titansilica glasses.”, *J. Non-cryst. Solids*, 11, 368 (1973)
6. a) N. R. Yafe and Yu. V. Yablokov, “Electron spin resonance of Ti³⁺ in some silicate and phosphate glass”, *Soviet Phys.-Solid state*, 4, 1123 (1962)
b) J. Paul, “Optical and esr spectra of titanium (III) in Na₂O-B₂O₃ and Na₂O-P₂O₅ glasses”, *J. Mater. Sci.*, 10, 692 (1975)
c) B. S. Rawal and J. J. Warden, “EPR in barium borosilicate glass containing titanium ions”, *J. Mater. Sci.*, 14, 2215 (1979)
7. 石橋雅義, “定量實驗法” p. 410 萌山房東京 (1962)